

مجله علوم و تکنولوژی پلیمر، سال بیستم،

شماره ۳، صفحه ۲۵۵-۲۴۷، ۱۳۸۶

ISSN : 1016-3255

# تهیه نانوکامپوزیت‌های پلی‌یورتان - خاک رس: بررسی پراکنش خاک رس اصلاح شده در پلی‌ترامتیلن اتر گلیکول

**Preparation of Polyurethane/Clay Nanocomposites: Investigating the Dispersion of Organoclays in PTMEG**

بابک کفاسی<sup>۱\*</sup>، فاطمه پورسنگ<sup>۱</sup>، سید احسان سنبلستان<sup>۲</sup>

۱- تهران، دانشگاه تهران، پردیس دانشکده‌های فنی، دانشکده مهندسی شیمی، صندوق پستی ۱۱۳۶۵۴۵۶۳

۲- تهران، دانشگاه علم و صنعت ایران، دانشکده مهندسی مکانیک، صندوق پستی ۱۶۸۴۶/۱۳۱۱۴

دریافت: ۸۵/۵/۱۶، پذیرش: ۸۶/۲/۵

## چکیده

پراکنش مناسب نانوذرات در زمینه پلیمر عامل تعیین‌کننده خواص نهایی نانوکامپوزیت‌های پلیمری است. در این پژوهش، نحوه پراکنش خاکرس اصلاح شده در پلیمر PTMEG بررسی شده است که یکی از پلی‌ال‌های رایج به عنوان ماده اولیه در صنعت پلی‌یورتان است. این بررسی درسه مقیاس نانو، میکرو و ماکرو به ترتیب با استفاده از آزمایش‌های تفرق پرتو X، رئومتری و مشاهده ظاهری برای سه نوع خاکرس کلوجیزیت A، B و C انجام شد. نتایج آزمایش‌های تفرق پرتو X نشان می‌دهد که فاصله بین لایه‌ها در هر سه نوع خاکرس اصلاح شده پس از افزودن پلی‌ال افزایش می‌یابد، ولی این افزایش در مورد کلوجیزیت B بیشتر از دو نوع دیگر است. نتایج آزمایش‌های رئومتری نیز نشان می‌دهد که کلوجیزیت B در نوع دیگر ساختار محکمتری در پلی‌ال ایجاد می‌کند. همچنین، مشاهده ظاهری پایداری تعلیق‌های مختلف تأیید کرد که تعلیق کلوجیزیت B در پلی‌ال پایدارتر است.

## واژه‌های کلیدی

نانوکامپوزیت، خاک رس اصلاح شده، پلی‌ال، رئومتری، پراکنش

## مقدمه

گرمایی و مکانیکی را به طور قابل ملاحظه ای افزایش می‌دهند. ایجاد این خواص به دلیل وجود سطوح برهمن کنش بزرگ نانوپرکننده و زمینه پلیمری است.

خاک رس معدنی از نانوصفحاتی با طول حدود  $1\text{ }\mu\text{m}$  و ضخامت  $1\text{ nm}$  تشکیل شده

خاک‌های رس اصلاح شده به دلیل ایجاد خواص رئولوژیکی مناسب به مقدار گستردگی در ساخت مواد آرایشی، جواهرات و صنایع رنگ مورد استفاده قرار می‌گیرند [۱].

وجود خاک‌های رس اصلاح شده در پلیمرها خواص نفوذناپذیری در برابر گاز و مقاومت

## Key Words

nanocomposite, organoclay, polyol, rheometry, dispersion

\*مسئول مکاتبات، بیان نگار: [kaffashi@ut.ac.ir](mailto:kaffashi@ut.ac.ir)

پلی‌یورتانی می‌توان استفاده کرد. این تعلیق در سه اندازه مختلف زیر مطالعه و بررسی شده است [۱]:

۱- در مقیاس نانو با مشاهده فاصله بین لایه‌ها: به علت زیادتر بودن انرژی سطحی پلی‌ال نسبت به انرژی سطحی خاک رس اصلاح شده، زنجیرهای پلی‌ال در راستای افزایش فاصله بین لایه‌های خاک رس جداده می‌شوند. باز شدن لایه‌ها نشان دهنده پراکنش مناسب خاک رس اصلاح شده در پلی‌ال است.

۲- در مقیاس میکرو با مطالعه رفتار رثولوژی تعلیق: ژل‌ها به واسطه نفوذ ریزژل‌هاشکل می‌گیرند که این ریزژل‌ها بر پایه توده چند صفحه‌ای خاک رس اصلاح شده تقویت شده‌اند. ساختار این ژل‌ها با اندازه گیری خواص ویسکوالاستیک، سفتی و تنش جریان ژل، بررسی می‌شود.

۳- در مقیاس ماکرو با بررسی رسوب ذرات خاک رس اصلاح شده در حال: نفوذ پلی‌ال بین صفحات خاک رس تورم خاک را موجب می‌شود. در اصل یون‌های نفوذ کرده بین لایه‌های شکل زنجیر در آمده و ساختار نهایی تعلیق را می‌سازند.

در این پژوهش، آزمایش تفرق پرتو X و آزمایش‌های رئومتری به عنوان دو روش اول و مشاهده ظاهری تعلیق در زمان‌های مختلف به عنوان روش سوم انجام شده است. همچنین، برای بررسی عوامل تغییر داده شده و اثر آنها، انواع مختلف خاک رس اصلاح شده با درصدهای وزنی مختلف ترکیب شدند.

## مواد

از انواع مختلف مونت‌موریلونیت آلی دوست با نام تجاری کلوزیت (Cloisite) ساخت Southern Clay Products استفاده شده است. تفاوت این خاک‌های رس در تنوع یون‌های آکلیل آمونیوم اصلاح کننده است. این خاک‌های رس اصلاح شده با واکنش تبادل یون بین مونت‌موریلونیت سدیم دار و یون‌های چهارگانه آمونیوم کلرید متفاوت اصلاح می‌شوند. مشخصات خاک‌های رس اصلاح شده و ساختار آنها در جدول ۱ آورده شده است. در این جدول نتایج آزمایش تفرق پرتو X مواد خالص نیز آورده شده است تا در بخش‌های بعدی برای درک تفاوت فاصله بین لایه‌ها به کار گرفته شود.

پلی‌ال استفاده شده برای پراکنش خاک رس اصلاح شده در آن، پلی‌ترامیلن گلیکول (PTMEG) ساخت Aldrich است. در جدول ۲ مشخصات و ساختار این پلی‌ال آمده است.

## دستگاه‌ها

در این پژوهش، دستگاه WAXD Philips و رئومتر Phsysica مدل MCR<sup>300</sup> ساخت شرکت Anton Paar به کار گرفته شد.

است که این ساختار منجر به ایجاد نسبت شکلی بالای حدود ۵۰۰-۱۰۰۰ می‌شود. برای دست‌یابی به بیشترین ناحیه بین سطحی و در نتیجه بهبود خواص در مقایسه با ریزکامپوزیت‌های معمول، در ساخت نانوکامپوزیت‌ها باید نانولایه‌ای ساده خاک رس یا ترکیب چندلایه‌ای صفحات خاک رس اصلاح شده به طور یکنواخت در زمینه پخش شوند و به حالت تجمع یافته در زمینه شکل نگیرند.

از مزایای نانوکامپوزیت‌های پلیمر - خاک رس می‌توان به موارد زیر اشاره کرد:

- درصد خیلی کم خاک رس (بین ۲ تا ۵ درصد وزنی) که آن را از لحاظ اقتصادی مورد توجه قرار داده است.

- بهبود خواص مکانیکی مانند سفتی و استحکام بیشتر [۲].

- بهبود خواص نفوذ ناپذیری در برابر گازها [۳] و

- بهبود خواص گرمایی مانند بازدارندگی اشتغال و افزایش دمای واپیچی گرمایی [۴].

روش‌های مختلفی برای پراکنش نانوصفحات خاک رس در پلیمر وجود دارد که توسط روبوویس و الکساندر [۵] به طور مسروخ توضیح داده شده است. این روش‌ها عبارتند از:

- پلیمرشدن در جای (in situ) مونومرهایی که ابتدا در بین لایه‌های سیلیکات جا داده شده‌اند.

- ترکیب با محلول پلیمری و

- جادادن پرکننده در حالت مذاب پلیمرهای گرمایم.

در این پژوهش، روشی مشابه روش دوم برای ساخت نانوکامپوزیت‌ها مد نظر قرار گرفته است. در روش یاد شده به جای حلal‌های شیمیایی، از الكل‌های پلیمری (پلی‌ال‌ها) به عنوان یکی از اجزای سازنده پلیمر استفاده می‌شود. نانوپودرها ابتدا در پلی‌ال مخلوط می‌شوند، سپس بعد از پراکنش به پلیمر اضافه می‌شوند. بدیهی است در این حالت دیگر نیازی به خروج حلal (پلی‌ال) از سامانه نیست.

با توجه به اهمیت نحوه پراکنش خاک رس اصلاح شده در حلال قبل از ورود به پلیمر، تابه حمال مطالعات زیادی به کمک آزمایش‌های تفرق پرتو X و رئومتری روی این محلول‌ها انجام شده‌ای که طول پژوهشگران نشان می‌دهد که خاک‌های رس اصلاح شده‌ای در زنجیر کربنی اصلاح کننده آنها بیشتر از ۱۲ اتم کربن باشد، به راحتی در پلی‌ال‌های رایج در ساخت پلی‌یورتان‌ها به عنوان زنجیرافزا یا شبکه‌ای کننده مانند اتیلن گلیکول، پلی‌اتیلن گلیکول و پلی‌پروپیلن گلیکول پراکننده می‌شوند [۶].

در این مطالعه، هدف بررسی چگونگی پراکنش خاک رس اصلاح شده در پلی‌ترامیلن گلیکول (PTMEG) است، زیرا از این تعلیق در ساخت نانوکامپوزیت‌های پلیمری به ویژه نانوکامپوزیت‌های پایه

## جدول ۱- مشخصات و ساختار انواع خاک رس استفاده شده در این پژوهش.

نام تجاری خاک رس اصلاح شده	ساختار شیمیایی	اصلاح کننده آلى	غلظت اصلاح کننده (خاک رس) (meq/100g)	نتایج تفرق پرتو X $d_{(0.01)} (\text{\AA})$
کلویزیت ۱۰A	$\text{CH}_3-\overset{\text{CH}_3}{\underset{\text{HT}}{\overset{ }{\text{N}^+}}}-\text{CH}_2-\text{C}_6\text{H}_5$	2MBHT <sup>(۱)</sup>	۱۲۵	۱۹/۲
کلویزیت ۹۳A	$\text{CH}_3-\overset{\text{H}}{\underset{\text{HT}}{\overset{ }{\text{N}^+}}}-\text{CH}_2-\text{C}_6\text{H}_5$	M2HT <sup>(۲)</sup>	۹۰	۲۳/۶
کلویزیت ۳۰B	$\text{CH}_3-\overset{\text{CH}_2\text{CH}_2\text{OH}}{\underset{\text{CH}_2\text{CH}_2\text{OH}}{\overset{ }{\text{N}^+}}}-\text{T}$	MT2EtOT <sup>(۳)</sup>	۹۰	۱۷/۵

(۱) 2MBHT: dimethyl, benzyl, hydrogenated tallow, quaternary ammonium

(۲) M2HT: methyl, dihydrogenated tallow ammonium

(۳) MT2EtOH: methyl, tallow, bis-2-hydroxyethyl, quaternary ammonium

### میکروسکوپ الکترون عبوری (TEM) است.

در روش اول با تخمین بسیار خوبی فاصله بین لایه‌های سیلیکات ذرات خاک رس معین می‌شود. زاویه  $2\theta$  تفرق پرتو X بین ۱ و ۱۰ درجه تغییر می‌کند. زاویه‌ای که در آن نمودار مربوط به تفرق پرتو X روی محلول PTMEG و خاک رس اصلاح شده دارای پیک است، نشان دهنده فاصله بین لایه‌های است. مقدار فاصله بین لایه‌های راحتی از معادله (۱) محاسبه می‌شود:

$$\lambda = 2d_{(0.01)} \sin\theta \quad (1)$$

دستگاه WAXD استفاده شده با جریان ۴۰mA و ولتاژ ۵۰ kV کار می‌کند. طول موج پرتو تابانده شده  $754\text{\AA}$  است. از آنجا که نمونه‌ها به حالت محلول بودند، از دستگاه XRD استفاده شد که در آن محل قرارگیری نمونه‌ها ثابت و بدون حرکت بوده است.

اگر در ترکیب خاک رس اصلاح شده و PTMEG، لایه‌های خاک رس به خوبی از هم جدا شوند و زنجیرهای PTMEG در بین لایه‌ها نفوذ کنند، پراکنش مناسبی از خاک رس در نانوکامپوزیت نهایی ایجاد

### روش‌ها

#### تهیه نمونه‌ها

در این پژوهش، اثر تغییر درصد وزنی خاک رس نیز بررسی شده است. بنابراین، بر اساس درصد وزنی ترکیب مورد نظر، خاک رس توزین شد و به مدت ۱h در گرماخانه‌ای با دمای  $80^\circ\text{C}$  قرار گرفت.

پس از خشک کردن، ذرات خاک رس در ۵۰g پلی‌ترامتیلن گلیکول اتر با هم زن مکانیکی معمولی به مدت ۳۰min در دمای محیط مخلوط شدند. شایان ذکر است که هنگام استفاده از PTMEG باید سعی شود رطوبت و ذرات هوا به آن نفوذ نکند. به این ترتیب، نمونه‌ها با افزودن انواع مختلف خاک رس با درصدهای وزنی متفاوت به PTMEG تهیه شدند.

#### آزمون تفرق پرتو X

تاكونون دو روش برای تحلیل نانوکامپوزیت‌های پلیمری در مقیاس نانو ارائه شده است. آسان‌ترین و اولین روش، استفاده از تابش پرتو X است که روش WAXD نامیده می‌شود و روش دوم به کارگیری

## جدول ۲- مشخصات و ساختار پلی‌ال استفاده شده در این پژوهش.

نام تجاری پلی‌ال	ساختار شیمیایی	چگالی (g/mL)	گرانزوی در $40^\circ\text{C}$ (mPa.s)	وزن مولکولی (g/mL)
PTMEG	$\text{HO}(\text{CH}_2\text{CH}_2\text{CH}_2\text{CH}_2\text{O})_n\text{H}$	۰/۹۷۴	۲۶۰-۳۲۰	۱۰۰۰

**اثر سرعت برش بر گرانزوی**  
در این آزمایش رفتار غیرخطی محلول به دست آمده بررسی می‌شود. در این حالت گرانزوی ترکیب بر حسب سرعت برش رس می‌شود. بسامد چرخش در ۱ rad/s ثابت نگه داشته می‌شود. سرعت برش در بازه  $10^{-20}$  s تغییر می‌کند.

### مشاهده ظاهری ترکیب

تمام تعلیق‌های آماده شده با خاک‌های رس در درصدهای وزنی مختلف به وسیله هم زن مکانیکی در مدت زمان یکسان مخلوط می‌شوند. تعلیق‌ها در شرایط یکسان نگهداری می‌شوند و بعد از مدت زمان‌های ۲، ۴ و ۲۱ هفته بررسی می‌شوند. مشاهدات ثبت و از مطالعه آنها پایداری تعلیق‌ها استخراج می‌شود. این روشی مناسب برای بررسی خواص تعلیق‌ها در مقیاس ماکرو است.

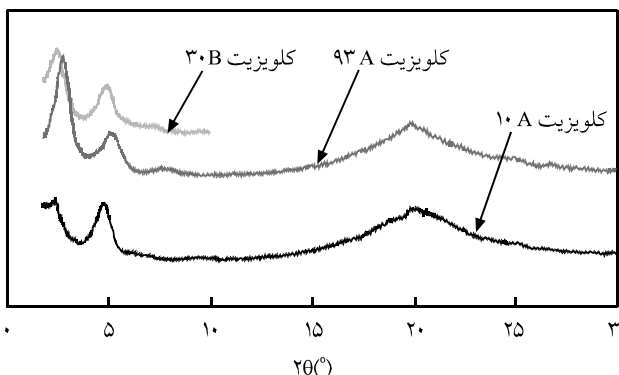
### نتایج و بحث

در این پژوهش، اثر نوع خاک رس اصلاح شده و مقدار درصد وزنی آن در تعلیق بر خواص ساختاری نانوکامپوزیت بررسی شده است. این موضوع در انتخاب ماده مناسب برای ترکیب با پلی‌ال و ساخت نانوکامپوزیت نهایی مفید است.

### اثر نوع خاک رس اصلاح شده

#### آزمایش تفرق پرتو X

در شکل ۱ نتایج آزمایش تفرق پرتو X برای انواع مختلف خاک رس اصلاح شده و پراکنده شده در PTMEG آورده شده است. همان‌طور که



شکل ۱- نتایج آزمایش تفرق پرتو X برای خاک‌های رس اصلاح شده مختلف و حل شده در PTMEG با وزن مولکولی ۱۰۰۰.

می‌شود. بنابراین، فاصله به دست آمده از این آزمایش عاملی تعیین کننده و مهم است.

### آزمون خواص مکانیکی - دینامیکی

آزمایش‌های رئومتری از دسته آزمایش‌های بررسی خواص مربوط به ریزساختارهاست [۱]. به عبارت دیگر، بررسی مواد در اندازه میکرو به این روش انجام می‌شود. آزمایش‌ها، به وسیله رئومتری با صفحات موازی با قطر ۵ cm در دمای  $40^{\circ}\text{C}$  انجام شد. فاصله بین دو صفحه که محلول در آن قرار می‌گیرد، ۲ mm بوده است. به وسیله این دستگاه انواع مختلف آزمایش‌های رئومتری قابل بررسی است که آزمایش‌های انجام شده به شرح زیر است:

#### جاروب تنش

در این آزمایش، نمودارهای 'G' و "G" در بسامد ثابت ۱ rad/s بر حسب تنש برشی اعمالی ( $\tau$ ) در بازه  $10^1-10^0 \text{ Pa}$  / $10^0$  رسم می‌شوند. برای هر یک از ترکیبات می‌توان  $\tau$  ارائه کرد که پس از آن تنش، سیال همانند مایع جریان می‌یابد.

#### جاروب بسامد

در این آزمایش، اثر تغییر بسامد چرخش بر 'G' و "G" بررسی می‌شود. بسامد در بازه  $10^1-10^0 \text{ rad/s}$  تا  $10^0$  / $10^1$  تغییر می‌کند. نوع رفتار جریان اعم از نیوتی و غیرنیوتی بودن ترکیب در این آزمایش مشخص می‌شود.

#### جاروب کرنش

آزمایش دینامیکی - مکانیکی جاروب کرنش خواص ریزساختاری ماده را با افزایش کرنش اندازه گیری می‌کند. تغییرات مدول ذخیره ('G')، که نشان‌دهنده رفتار کشسان ماده و تغییرات مدول اتلاف ("G")، که نشان‌دهنده رفتار گرانزو ماده است، در برابر افزایش کرنش ارائه می‌شوند. بازه تغییرات کرنش  $10^0$  تا  $10^1 \text{ rad/s}$  درصد و بسامد در این حالت ثابت و برابر ۱ rad/s است. خطی بودن نمودارهای رسم شده نشان از کشسان بودن ترکیب است.

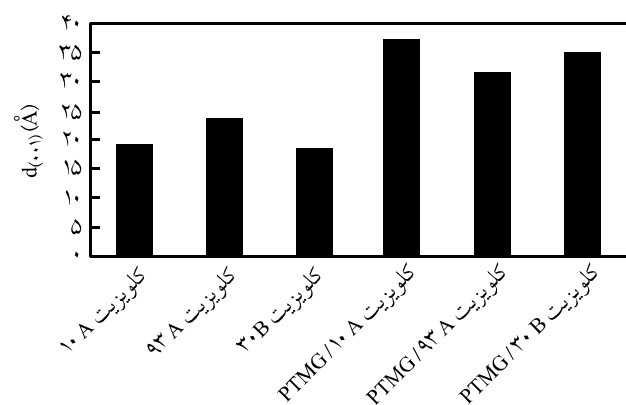
#### جاروب زمان

به دلیل پتانسیل شبه جامد و تبدیل آرام آن به حالت سیال، تاریخچه ساختار نمونه‌ها نیز کنترل شده است. این روش با اعمال سرعت برش کم ( $10^{-1} \text{ s}^{-1}$ ) به ترکیب در مدت زمانی معین (۵ min)، سپس زیاد کردن این سرعت برش تا  $10^0 \text{ s}^{-1}$  در فاصله زمانی  $10 \text{ min}$  و در انتهای کاهش دوباره سرعت برش به مقدار اولیه ( $10^{-1} \text{ s}^{-1}$ ) در مدت زمان ۵ min است. اعمال این روش، مدت زمان مورد نیاز را برای واپاشی و بازیابی ساختار تعلیق نشان می‌دهد.

(d) دارد. برای مشاهده مقایسه بهتر فاصله بین لایه های خاک رس با تعویض نوع خاک رس اصلاح شده، نمودار میله ای در شکل ۲ رسم شده است. در این نمودار به طور مستقیم فاصله بین لایه ها نشان داده شده است. همین طور در کنار تعلیق های موجود، فاصله بین لایه های ذرات خاک رس خالص نیز برای مقایسه نشان داده شده است.

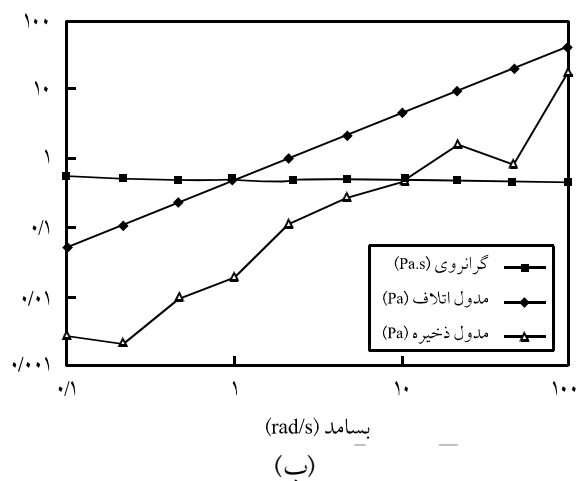
همان طور که دیده می شود فاصله بین صفحات خاک رس اصلاح شده در اثر نفوذ زنجیره های پلی ال بین لایه ها افزایش می یابد. اما، افزایش فاصله بین لایه ها در مورد کلویزیت  $10\text{A}$  با اصلاح کننده  $2\text{MBHT}$  و کلویزیت  $30\text{B}$  با اصلاح کننده  $\text{MT2ETOH}$  در پلی ال با وزن مولکولی  $1000\text{ A} = 17-18/5\text{ \AA}$  (Dd $_{0.01}$ ) بیشتر از کلویزیت  $93\text{ A}$  ( $Dd_{0.01}$ ) است. دلیل این رفتار، ساختار شبکه بلوری کلویزیت  $93\text{ A}$  است که نفوذ پلی ال را مشکل می کند.

اصلاح کننده  $2\text{MBHT}$  در کلویزیت  $10\text{A}$  به دلیل داشتن حلقه بنزیل و اصلاح کننده  $\text{MT2ETOH}$  در کلویزیت  $30\text{B}$  به دلیل داشتن

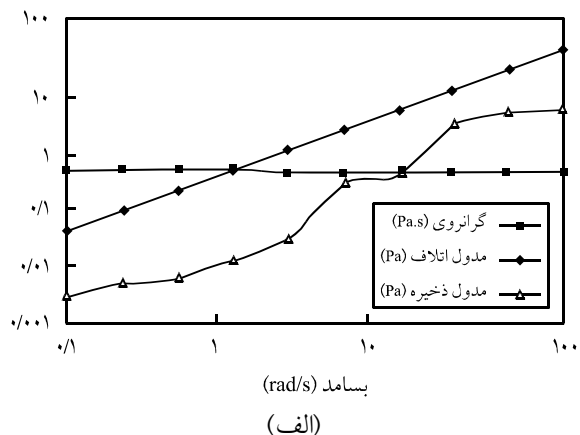


شکل ۲- نمودار مقایسه ای فاصله بین لایه ای نانوذرات خاک رس به طور خالص و محلول در .PTMEG

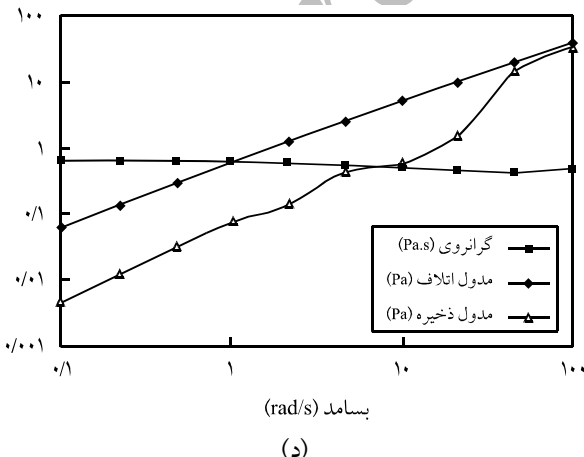
دیده می شود، نمودار هر کدام از ترکیبات دارای چند پیک است که زاویه مربوط به اولین پیک مطابق با معادله (1) بیشترین فاصله را بین لایه ها



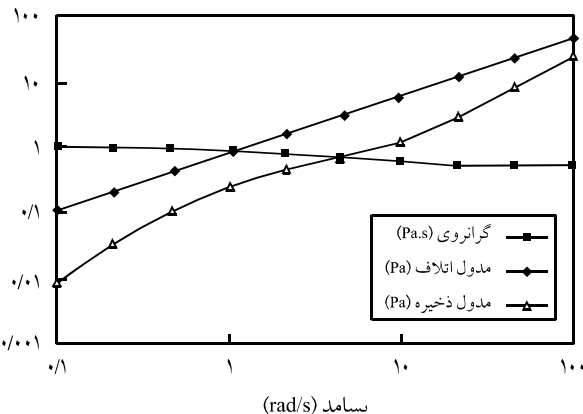
(ب)



(الف)



(د)



(ج)

شکل ۳- نمودار مدول ذخیره، اتلاف و گرانروی بر حسب بسامد در محلول PTMEG دارای خاک های رس اصلاح شده مختلف (۲ درصد وزنی): (الف) بدون خاک رس، (ب) کلویزیت  $10\text{A}$ ، (ج) کلویزیت  $A$  و (د) کلویزیت  $30\text{A}$  و (ج) کلویزیت  $93\text{ A}$ .

است. اما، وقتی خاک‌های رس متنوع به سامانه اضافه می‌شود نسبت جزء کشسان به گرانزو سامانه افزایش می‌یابد. همان‌طور که در نمودارها دیده می‌شود، تنها با افزودن کلویزیت B<sup>۳۰</sup> به PTMEG ساختار تشکیل می‌شود و در مورد سایر خاک‌های رس ساختاری تشکیل نمی‌شود. این موضوع به مستحکم بودن برهم‌کنش‌های کلویزیت B<sup>۳۰</sup> با PTMEG نسبت به دو خاک رس دیگر مربوط می‌شود.

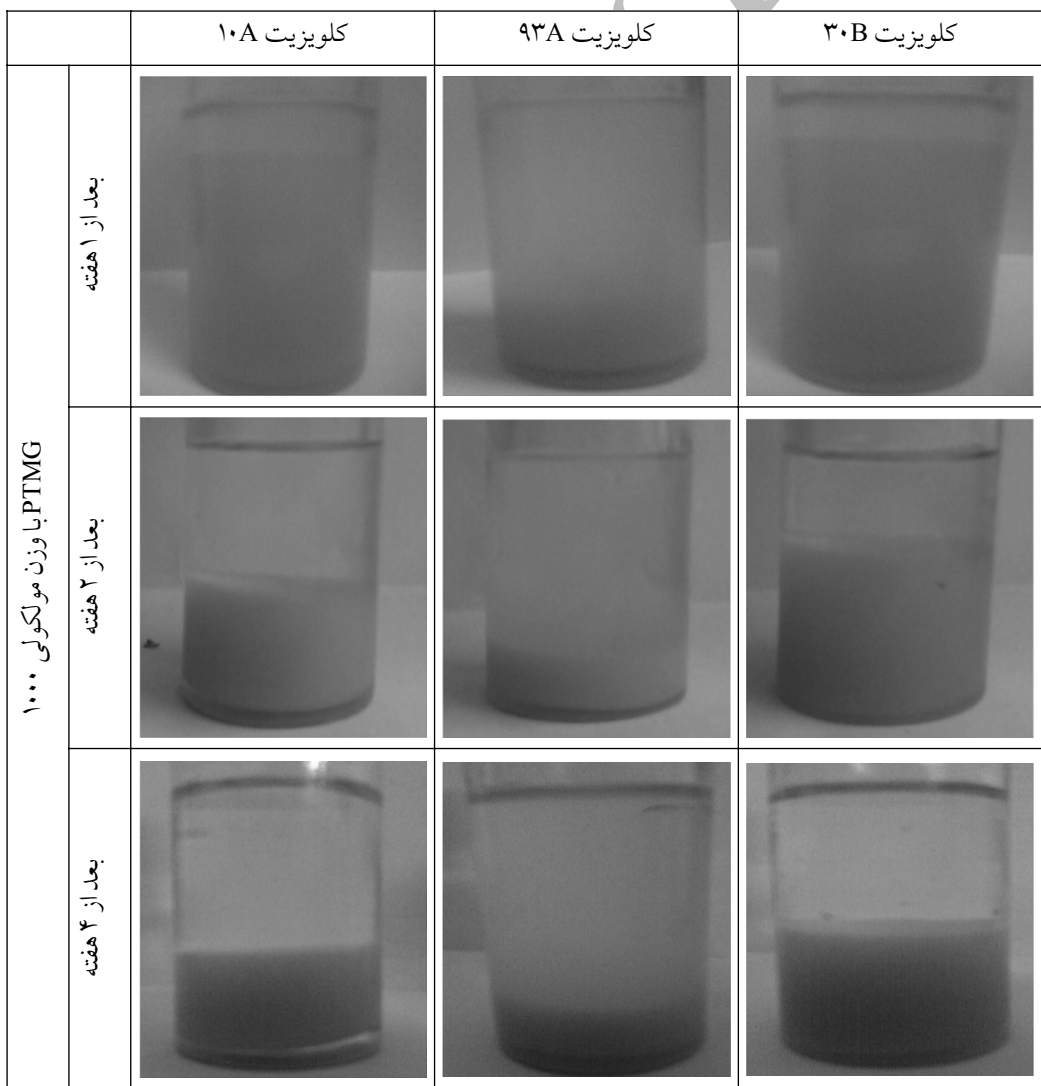
#### مشاهده ظاهری

برای مشاهده مقدار ته نشینی در زمان‌های متفاوت از تعلیق پلی‌ال و خاک‌رس اصلاح شده تصویربرداری شده است. با توجه به تصاویر می‌توان به مقدار پایداری سامانه در ازای استحکام پیوندهای تشکیل شده پی برد. شکل ۴ تصاویر تعلیق‌ها را در زمان‌های ۱، ۲ و ۴

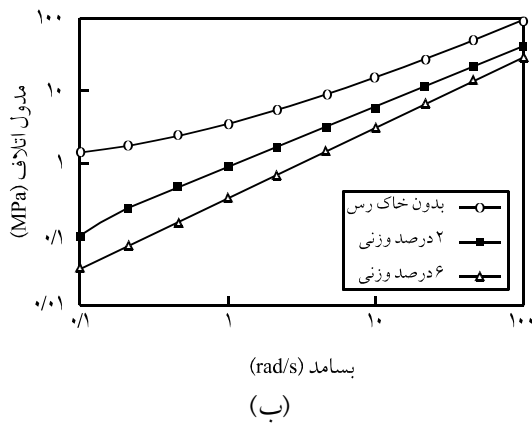
گروه‌های هیدروکسی اتیل مانع از ایجاد ساختار بلوری می‌شوند. پلی‌ال دارای گروه‌های عاملی هیدروکسیل است که قابلیت ایجاد پیوند هیدورژنی را با گروه‌های هیدروکسیل موجود در فضای بین لایه‌های کلویزیت B<sup>۳۰</sup> دارد.

#### آزمایش‌های رئومتری

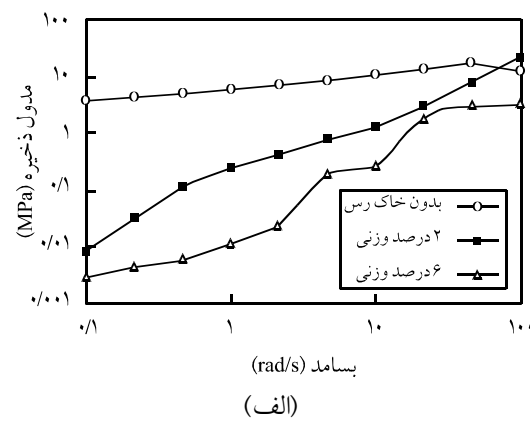
از آزمایش‌های بیان شده در بخش قبل در مورد رئومتری، آزمایش جاروب بسامد برای خاک‌های رس مختلف بررسی شده است. در شکل ۳ تغییرات مدول ذخیره و اتلاف و گرانزوی بر حسب بسامد، برای انواع خاک‌های رس اصلاح شده رسم شده است. همان‌طور که دیده می‌شود در نمونه پلیمری بدون خاک رس مدول اتلاف بیشتر از مدول ذخیره است که این موضوع نشان دهنده رفتار شبیه مایع این ترکیب



شکل ۴- تصاویر تعلیق‌های (۴ درصد وزنی) پلی‌ال و خاک‌رس اصلاح شده مختلف در زمان‌های ۱، ۲ و ۴ هفته بعد از اختلاط.



(ب)



(الف)

شکل ۵- نمودار تغییرات: (الف) مدول ذخیره و (ب) مدول اتلاف بر حسب بسامد در محلول PTMEG دارای درصدهای وزنی مختلف خاک رس کلویزیت B<sup>۳۰</sup>.

برهم کنش های هیدرورژنی بین خاک رس و پلیمر موجب این رفتار می شود.

### جاروب کرنش

نمودارهای تغییرات مدول ذخیره و اتلاف در کنار هم برای درصدهای وزنی مختلف خاک رس اصلاح شده در تعلیق با افزایش کرنش برشی در شکل ۶ نشان داده شده است. با افزایش خاک رس 'G' و 'G'' هر دو افزایش می یابند. می توان دید که در مورد نمونه بدون خاک رس اصلاح شده "G" بزرگتر از 'G'' است و این رفتار در تمام محدوده کرنش اعمالی ثابت است که نشان از رفتار شبه مایع است.

با افزودن ۲ درصد خاک رس اصلاح شده ساختاری تشکیل می شود که این ساختار تا کرنش نهایی مقاومت می کند. اما، پس از آن ساختار شروع به شکستن می کند و 'G' کاهش می یابد. 'G'' نیز با افزودن خاک رس اصلاح شده تغییر کرده و در کرنشی مشخص کاهش می یابد. کرنش نهایی مربوط به 'G' با کرنشی که در آن "G" شروع به کاهش می کند، یکسان نیست.

این موضوع بیانگر این مطلب است که اتصالات شبکه با رسیدن به یک کرنش، شروع به شکستن می کند، اما هنوز حجم مؤثر اتصالات کاهش نیافته است. ولی، از یک محدوده کرنشی به بعد حجم مؤثر اتصالات شبکه نیز کاهش می یابد که در نتیجه آن "G" کاهش می یابد. با افزایش مقدار خاک رس اصلاح شده نقطه بیشینه در نمودارها دیده نمی شود.

این موضوع نشان می دهد که رفتار رئولوژیکی تعلیق مشاهده نمی شود. در واقع اختلاط خاک رس و پلی ال نشان دهنده رفتار محلول پلیمری دارای بخش های کشسان و گرانرو است.

هفته بعد از اختلاط نشان می دهد. همان طور که دیده می شود با تغییر نوع پرکننده مقدار ته نشینی تعلیق ها متفاوت است. با گذشت زمان مقدار پایداری تعلیق کاهش یافته و ذرات خاک رس اصلاح شده ته نشین می شوند.

در مورد کلویزیت B<sup>۳۰</sup> پایداری تعلیق بیشتر از دو نوع دیگر خاک رس اصلاح شده است. علت این موضوع برهم کنش های شیمیایی بین خاک رس و گروه های هیدرورکسیل PTMEG است که این برهم کنش ها، به احتمال زیاد موجب قرار گرفتن زنجیرهای پلیمری بین لایه های خاک رس اصلاح شده می شود.

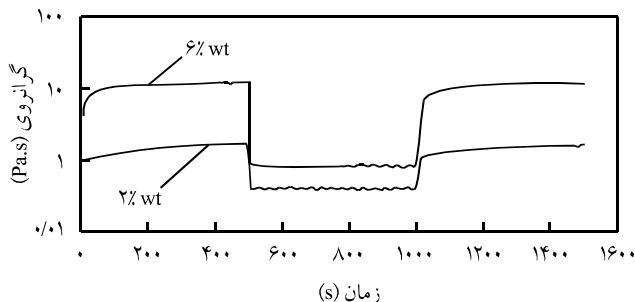
### اثر درصد وزنی خاک رس اصلاح شده

یکی دیگر از عوامل مهم اثرگذار بر خواص مخلوط پلی ال و خاک رس اصلاح شده و به تبع آن خواص نانوکامپوزیت حاصل از این اختلاط، درصد وزنی خاک رس موجود در ترکیب است. در این بخش با مجموعه ای از آزمایش های رئومتری نحوه اثر تغییرات درصد وزنی خاک رس اصلاح شده، در مخلوط بررسی می شود. خاک رس در نظر گرفته شده کلویزیت B<sup>۳۰</sup> است که در مقادیر ۰، ۲ و ۶ درصد وزنی بررسی شده است.

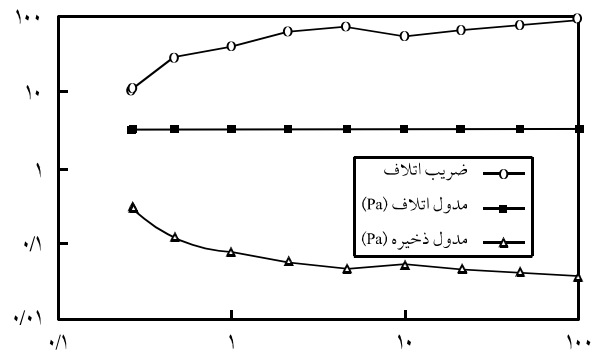
### جاروب بسامد

تغییرات مدول ذخیره و اتلاف بر حسب تغییرات بسامد به طور جداگانه برای درصدهای مختلف وزنی خاک رس اصلاح شده در پلی ال در شکل ۵ نشان داده شده است.

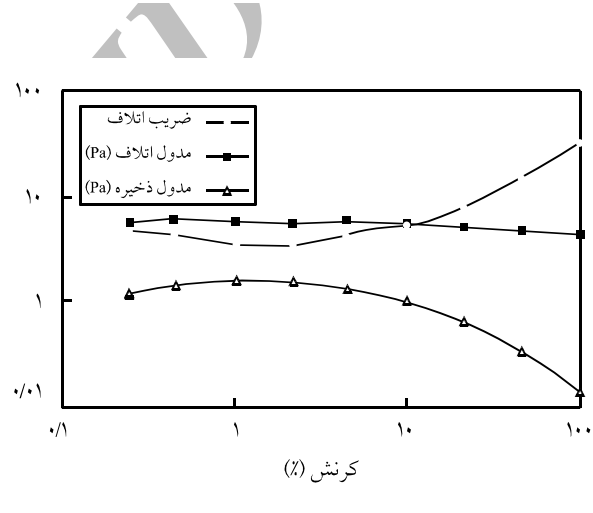
همان طور که مشاهده می شود با افزایش درصد وزنی خاک رس اصلاح شده مدول ذخیره و اتلاف افزایش می یابد. افزایش تعداد



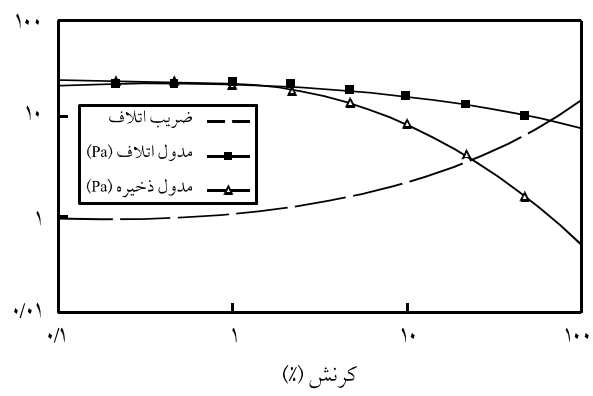
شکل ۷- نمودار تغییر گرانولوی محلول PTMEG دارای ۲ و ۶ درصد وزنی خاک رس اصلاح شده کلویزیت B.



(الف)



(ب)



(ج)

**جاروب زمان**  
نمودارهای گرانولوی بر حسب زمان دو ترکیب با مولفه‌های یکسان ولی درصدهای وزنی مختلف تقویت‌کننده در شکل ۷ نشان داده شده‌اند. همان‌طور که دیده می‌شود گرانولوی محلول ۶ درصد وزنی کلویزیت ۳۰ B پیشتر از محلول ۲ درصد وزنی مشابه است. در نمونه دارای ۶ درصد وزنی خاک رس اصلاح شده، مدت زمانی که دوباره گرانولوی به حالت اولیه برسد، بیشتر است. این موضوع مشخص می‌کند که محلول ۶ درصد وزنی خاصیت تیکسوتروپی بیشتری نسبت به محلول ۲ درصد وزنی دارد. در محلول حاوی ۶ درصد وزنی خاک رس اصلاح شده، ساختارهای شیمیایی بیشتری تشکیل شده که وقتی این ساختارها تخریب می‌شوند، گرانولوی محلول کاهش می‌یابد. وقتی که دوباره همان چرخه تنش به محلول اعمال می‌شود، زمان بیشتری برای رسیدن گرانولوی به حالت اولیه مورد نیاز است.

#### اثر سرعت برش بر گرانولوی

در شکل ۸ تغییرات گرانولوی ترکیب با درصدهای وزنی مختلف خاک رس اصلاح شده بر حسب سرعت برش و بسامد نشان داده شده است. همین طور بر اساس نظریه قانون توان (معادله (۲)) ضریب  $n$  تقریب زده شده است و در شکل برای هر نمودار به دست آمده است:

$$\eta = m\dot{\gamma}^{n-1} \quad (2)$$

با توجه به این شکل می‌توان گفت که پلی‌ال PTMEG بدون خاک رس اصلاح شده به شکل سیالی نیوتی عمل می‌کند. با افزایش مقدار خاک رس، گرانولوی در سرعت برشی کم افزایش می‌یابد، همچنین با افزایش مقدار خاک رس رفتار رقیق شدن برشی (shear thinning) شدیدتر می‌شود (شیب گرانولوی با سرعت برش زیاد می‌شود).

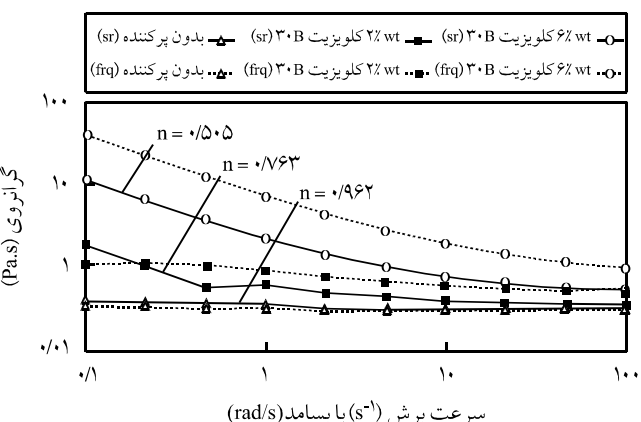
شکل ۶- نمودار تغییرات مدول ذخیره، مدول اتلاف و ضریب اتلاف بر حسب کرنش برشی در محلول PTMEG دارای مقادیر مختلف خاک رس اصلاح شده کلویزیت B: (الف) بدون خاک رس، (ب) ۲ درصد وزنی و (ج) ۶ درصد وزنی.

واسطه از هم گسیختگی اتصالات شبکه است.

شیب نمودارهای گرانزوی - سرعت برش و گرانزوی - بسامد با یکدیگر برابرند و این موضوع نشان دهنده یکسان بودن ساختارهاست. اما، کمتر بودن گرانزوی هنگام اعمال برش نشان دهنده از میان رفت و تخریب ساختارها در این حالت است. به همین دلیل در غلظت‌های کم خاک رس، اختلاف این دو گرانزوی کمتر مشهود است.

## نتیجه‌گیری

در این پژوهش، نحوه پراکنش خاک رس اصلاح شده در پلیمر PTMEG برای سه نوع خاک رس کلویزیت ۳۰B، ۹۳A و ۳۰B درسه مقیاس نانو، میکرو و ماکرو بررسی شد. بر اساس نتایج خاک رس کلویزیت B به شکل کامپوزیت با پلی‌ال PTMEG بهترین ساختار را نسبت به دو خاک رس دیگر ایجاد می‌کند. افزایش مقدار این پرکننده از ۲۶ درصد وزنی سبب تقویت ساختار می‌شود. نتایج رئومتری، تفرق پرتو X و مشاهدات ظاهری، صحت این مطلب را تأیید می‌کنند.



شکل ۸- نمودار تغییرات گرانزوی بر حسب سرعت برش (sr) و بسامد (frq) به طور هم زمان برای محلول PTMEG خالص و با ۲ و ۶ درصد وزنی خاک رس اصلاح شده کلویزیت B.

همان طور که نشان داده شد ضریب  $n$  قانون توان با افزایش مقدار خاک رس کاهش می‌یابد. کاهش گرانزوی با افزایش تنش برشی به

- Burgentzle D., Duchet J., Gerard J.F. and Fillon B., Solvent-based Nanocomposite Coatings, I. Dispersion of Organophilic Montmorillonite in Organic Solvents, *J. Colloid Interface Sci.*, **278**, 26-39, 2004.
- Lan T. and Pinnavaia T.J., Clay-reinforced Epoxy Nanocomposites, *Chem. Mater.*, **6**, 2216-2219, 1994.
- Sinha Ray S. and Okamoto M., Polymer/Layered Silicate Nanocomposites: A Review from Preparation to Processing, *Prog. Polym. Sci.*, **28**, 1539-1641, 2003.

- Gilman J.W., Flammability and Thermal Stability Studies of Polymer Layered-silicate (Clay) Nanocomposites, *Appl. Clay Sci.*, **15**, 31-49, 1999.
- Alexandre M. and Dubois P., Polymer-layered Silicate Nonocomposites: Preparation, Properties and Uses of a New Class of Materials, *Mater. Sci. Eng.*, **28**, 1-63, 2000.
- Wang Z. and Pinnavaia T.J., Nanolayer Reinforcement of Elastomeric Polyurethane, *Chem. Mater.*, **10**, 3769-3771, 1998.